04

Конверсия углекислого газа в плазме СВЧ-разряда с закалкой встречным потоком газа

© Д.А. Мансфельд ^{1,2}, А.В. Водопьянов ^{1,2}, Н.В. Чекмарев ², Е.И. Преображенский ²

Поступило в Редакцию 22 октября 2024 г. В окончательной редакции 22 ноября 2024 г. Принято к публикации 8 декабря 2024 г.

Исследовано разложение углекислого газа в плазме, поддерживаемой излучением магнетрона с частотой 2.45 GHz в потоке углекислого газа при атмосферном давлении. Показано, что закалка продуктов реакции встречным потоком газа более чем в 1.5 раза увеличивает степень конверсии и энергоэффективность разложения углекислого газа. При рекордных значениях энергоэффективности 43.9% и степени конверсии 14.3% обеспечивается выход монооксида углерода с производительностью 0.2 kg/h при затратах энергии СВЧ-излучения 6.5 kW · h/kg.

Ключевые слова: СВЧ-нагрев, разряд атмосферного давления, углекислый газ, закалка.

DOI: 10.61011/PJTF.2025.07.60077.20162

В настоящее время для решения проблемы конверсии углекислого газа (СО2) в высокомаржинальные продукты все чаще привлекаются различные разряды атмосферного давления, в которых диссоциация молекул СО2 происходит в низкотемпературной плазме за счет ступенчатого возбуждения колебательных степеней свободы электронами и возбужденными молекулами [1,2]. Для реализации плазменных методов нет необходимости использования химических прекурсоров, а самое главное их работа возможна в режиме "старт-стоп", характерном для возобновляемых источников электроэнергии. СВЧ-разряд, будучи принципиально безэлектродным, представляется наиболее вероятным кандидатом при реализации пилотного прототипа плазмохимических установок для процессов конверсии СО2 в монооксид углерода [3-5]. Как показывают последние исследования [6], в плазме СВЧ-разрядов при атмосферном давлении достигнут предел значений конверсии и энергоэффективности процесса разложения СО2. Одним из факторов, ограничивающих эффективность плазмохимических методов разложения СО2 в плазме СВЧразрядов, является протекание в плазме обратных реакций рекомбинации CO в CO_2 (CO + O + $M \rightarrow CO_2 + M$, $CO + O_2 \to CO_2 + O$). Наиболее эффективным способом увеличить степень конверсии СО2 является быстрое (10^6-10^7 K/s) охлаждение (закалка) продуктов реакции, которое приводит к "заморозке" состояния с максимальной конверсией [7]. Недавно в плазме разряда атмосферного давления, поддерживаемого СВЧ-излучением гиротрона с частотой 24 GHz в потоке углекислого газа, нам удалось продемонстрировать трехкратный рост степени конверсии СО2 и энергоэффективности за счет охлаждения постразрядной области встречным потоком газа [8]. В настоящей работе исследованный ранее метод закалки применен в плазме, поддерживаемой СВЧ-излучением магнетрона с частотой 2.45 GHz.

Для создания плазмы использовался метод организации СВЧ-разряда, широко применяемый в исследованиях, в частности, для разложения СО₂ [4]. Схема установки приведена на рис. 1. Разряд поддерживался в потоке углекислого газа непрерывным электромагнитным излучением мощностью до 3 kW. Тангенциально закрученный поток углекислого газа подавался на вход кварцевого реактора, представляющего собой кварцевую трубу с внешним диаметром 20 mm и толщиной стенки 2 mm. Реактор размещался в резонаторе СВЧ-аппликатора и герметично подсоединялся к диагностической камере, выполненной в виде шестипроходного вакуумного креста стандарта CF160. Углекислый газ подавался в реактор при атмосферном давлении с помощью регуляторов массового расхода газа Bronkhorst в диапазоне 0-501/min. Внутри СВЧ-аппликатора разряд представляет собой плазменный шнур диаметром $\sim 4\,\mathrm{mm}$, вытянутый вдоль оси реактора (рис. 1). С ростом мощности и потока газа плазменное образование существенным образом вытягивается за пределы СВЧ-аппликатора. В приосевой области разряда в центре аппликатора, согласно оценкам по оптическим измерениям вращательной температуры молекул СО2, температура газа может достигать значения 7000 К, что является характерным для подобных типов разряда [9]. В этой зоне химическое равновесие сильно смещено в сторону продуктов реакции, и происходит практически полное разложение углекислого газа $2CO_2 \rightarrow 2CO + O_2$. Центральная область прямых реакций обтекается более холодным газом с периферии, который, смешиваясь с сильно нагретой

 $^{^1}$ Национальный исследовательский Нижегородский государственный университет им. Н.И. Лобачевского, Нижний Новгород, Россия

² Институт прикладной физики им. А.В. Гапонова-Грехова РАН, Нижний Новгород, Россия E-mail: Mda1981@ipfran.ru

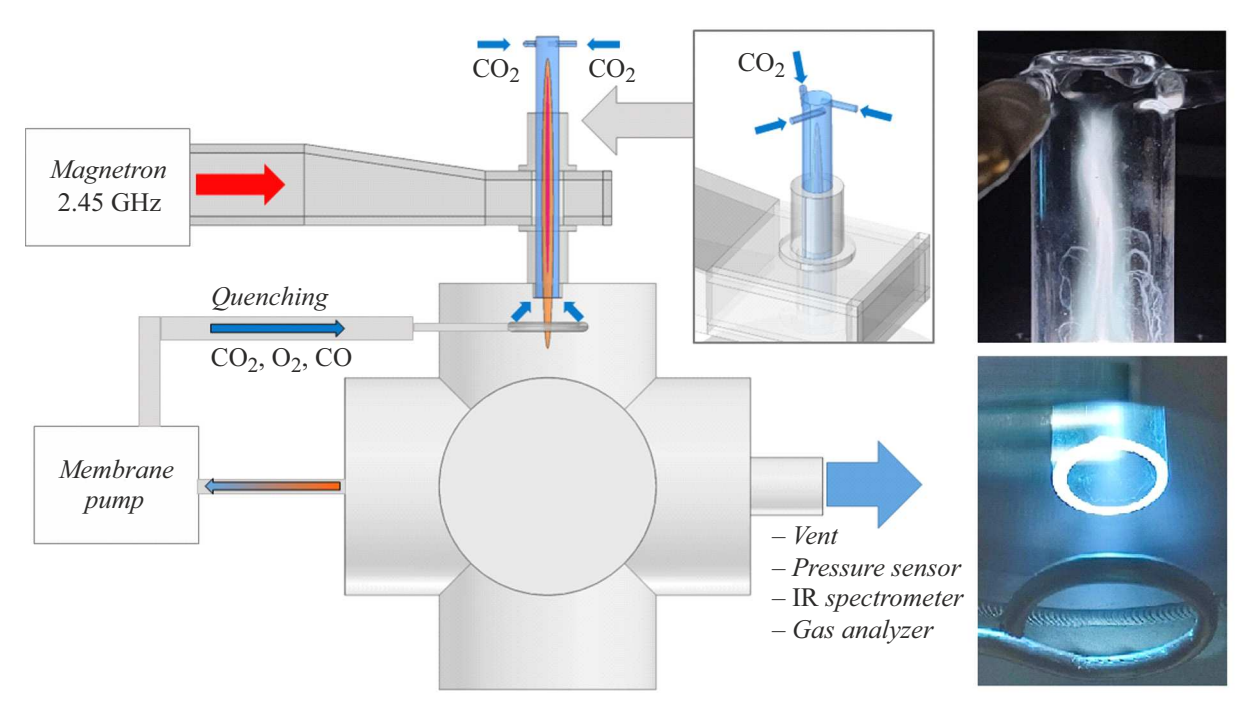


Рис. 1. Схема экспериментальной установки. Справа — фотография плазменного шнура (сверху) и процесс закалки встречным потоком газа (снизу).

плазмой, формирует на выходе реактора плазменный факел длиной до 50 mm и диаметром примерно 10-15 mm. Тем самым формируется область обратных реакций, в которой происходит охлаждение реакционной смеси преимущественно за счет конвективного теплообмена с формирующейся в камере атмосферой, что приводит к смещению химического равновесия в сторону исходного CO_2 .

Часть потока газов, выходящих из диагностической камеры, отбиралась со скоростью 0.51/min для последующего анализа продуктов реакции в газоанализаторе "ТЕСТ-1", который содержит электрохимический сенсор кислорода $(O_2$, диапазон измерений 0-21 vol.%, погрешность 0.5 vol.%) и оптические ячейки монооксида углерода (CO, диапазон измерений 0-30 vol.%, погрешность $\pm 0.3\%$) и углекислого газа (CO₂, диапазон измерений $0-100 \, \text{vol.}\%$, погрешность $\pm 1 \, \%$). Все сенсоры были прокалиброваны во всем рабочем диапазоне поверочными газовыми смесями (относительная точность < 0.3%). Измерение концентраций газов осуществлялось после установления стационарных значений, что достигалось за время от 10 до 15 min в зависимости от величины потоков газов. Результаты дополнительных измерений концентраций СО и СО2 методом инфракрасной фурьеспектрометрии (спектрометр i-Red 7800u-L) совпадают с результатами измерений газоанализатора "ТЕСТ-1" в пределах погрешностей.

Степень конверсии рассчитывалась по показаниям $(\phi_{\rm CO})$ наиболее точной ячейки CO по формуле [10], учитывающей увеличение объема газа при реакции раз-

ложения СО₂:

$$K = \frac{\varphi_{\rm CO}}{1 - \frac{1}{2}\varphi_{\rm CO}} \cdot 100\%. \tag{1}$$

Энергоэффективность (параметр, определяющий насколько эффективно протекает процесс разложения по сравнению со стандартной энтальпией реакции) определялась по формуле

$$\eta[\%] = K\Delta H/\text{SEI},$$
(2)

где $\Delta H = 2.93 \, \mathrm{eV/mol}$ — удельная энтальпия разложения CO_2 при стандартных условиях, а SEI — удельный энерговклад в пересчете на одну молекулу CO_2 вычислялся по формуле

$$SEI\left[\frac{eV}{mol}\right] = \frac{P[W] \cdot 60}{F_{CO_2}[l/min]} \cdot 2.54 \cdot 10^{-4} \frac{eV \cdot 1}{J \cdot mol}, \quad (3)$$

где P — мощность СВЧ-излучения, F_{CO_2} — поток CO_2 . На рис. 2, a и b приведены зависимости степени конверсии CO_2 и энергоэффективности от мощности СВЧ-нагрева для трех значений потока CO_2 . Для всех зависимостей наблюдается хорошо известная паритетная закономерность: рост мощности нагрева приводит к увеличению степени конверсии и снижению энергоэффективности, а увеличение потока газа, наоборот, к снижению степени конверсии и увеличению энергоэффективности. Мощность нагрева и поток газа напрямую влияют как на температуру электронов, определяющую колебательное возбуждение молекул CO_2 и последующую их диссоциацию, так и на температуру

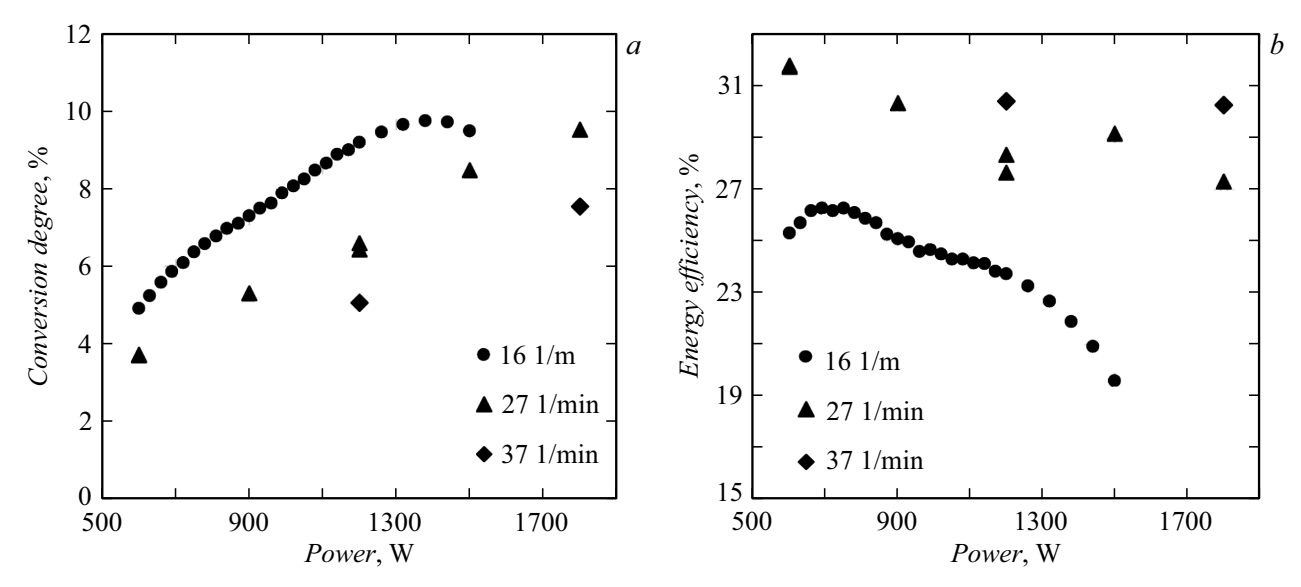


Рис. 2. Зависимость степени конверсии CO₂ (a) и энергоэффективности (b) от мощности при разных потоках CO₂.

газа, увеличение которой снижает эффективность разложения СО2 в результате столкновений возбужденных молекул с нейтральными частицами (V-T-релаксация). Кроме того, при значении температуры газа свыше 1500 К возрастает роль обратных реакций, что также приводит к снижению конверсии СО2. Последнее утверждение уверенно демонстрируется при значениях потока 161/min (кружки на рис. 2, a), когда после достижения максимального значения степени конверсии $\sim 10\,\%$ при мощности 1350 W дальнейшее увеличение мощности приводит лишь к снижению степени конверсии и энергоэффективности. С увеличением потока газа температура газа в разряде уменьшается, при этом характер зависимостей от мощности не меняется, а достижение максимальной степени конверсии наступает при больших значениях мощности.

Увеличение мощности нагрева и потока СО2 позволяет достичь наибольшего выхода монооксида углерода при сохранении оптимального соотношения степень конверсии/энергоэффективность. Как видно из рис. 2, a, b, оптимальный режим (степень конверсии 8.5%, энергоэффективность 29 %) достигается при потоке 27 1/min и мощности 1500 W, что соответствует удельному энерговкладу SEI = 0.85 eV/mol. Полученные значения находятся в одном ряду с результатами других групп, занимающихся разложением СО2 в низкотемпературной плазме разрядов атмосферного давления (СВЧ-разряд, разряд скользящей дуги) [6]. Однако для реализации промышленной переработки СО2 на основе плазменных технологий степень конверсии должна составлять не менее 15%, а энергоэффективность — более 50% [5,11], поэтому для существенного увеличения данных показателей мы применили метод закалки продуктов реакции встречным потоком газа. Подача закалочного газа в основание плазменного факела производилась по медной

трубке (внутренний диаметр 3 mm), размещенной в диагностической камере напротив выхода из реактора через четыре симметрично расположенных отверстия диаметром 1 mm (рис. 1). В качестве закалочного газа использовалась газовая смесь продуктов реакции (CO_2 , CO, O_2), отбираемая из диагностической камеры насосом с производительностью до 15 l/min. Ранее подобный подход позволил достичь трехкратного увеличения степени конверсии без разбавления продуктов реакции сторонними газами [8].

На рис. 3, *а*, *b* представлены зависимости степени конверсии и энергоэффективности от потока CO₂ при максимальном потоке закалочного газа 151/min и мощности 1350 W. Видно, что закалка продуктов реакции позволяет более чем в 1.5 раза (по сравнению со случаем отсутствия закалки) увеличить степень конверсии и энергоэффективность, причем наибольшее увеличение (в 1.8 раза) достигается при меньших потоках CO₂, что обусловлено изначально более высокой температурой газа в разряде. Энергоэффективность существенно возрастает с увеличением потока газа, достигая максимального значения 43.9 % при потоке CO₂ 21.51/min. Дальнейшее увеличение потока газа приводит к значительному снижению степени конверсии и, как следствие, энергоэффективности.

На рис. 3, a приведены значения EC — затрат энергии CBЧ-излучения на 1 kg продукта реакции (монооксида углерода, CO), оцененные по формуле

$$\mathrm{EC}\!\left[\frac{\mathrm{kW}\cdot\mathrm{h}}{\mathrm{kg}}\right] = \frac{1}{K} \frac{P[\mathrm{kW}]}{F_{\mathrm{CO}_2}\left[\frac{1}{\mathrm{min}}\right] \rho\left[\frac{\mathrm{kg}}{1}\right]} \frac{1}{60} \left[\frac{\mathrm{h}}{\mathrm{min}}\right], \quad (4)$$

где $\rho=0.00114$ kg/l — плотность CO. Затраты энергии на 1 kg CO в оптимальном с точки зрения производительности и энергоэффективности режиме (поток CO₂ 21.4 l/min) составляют 6.5 kW · h. С учетом степени

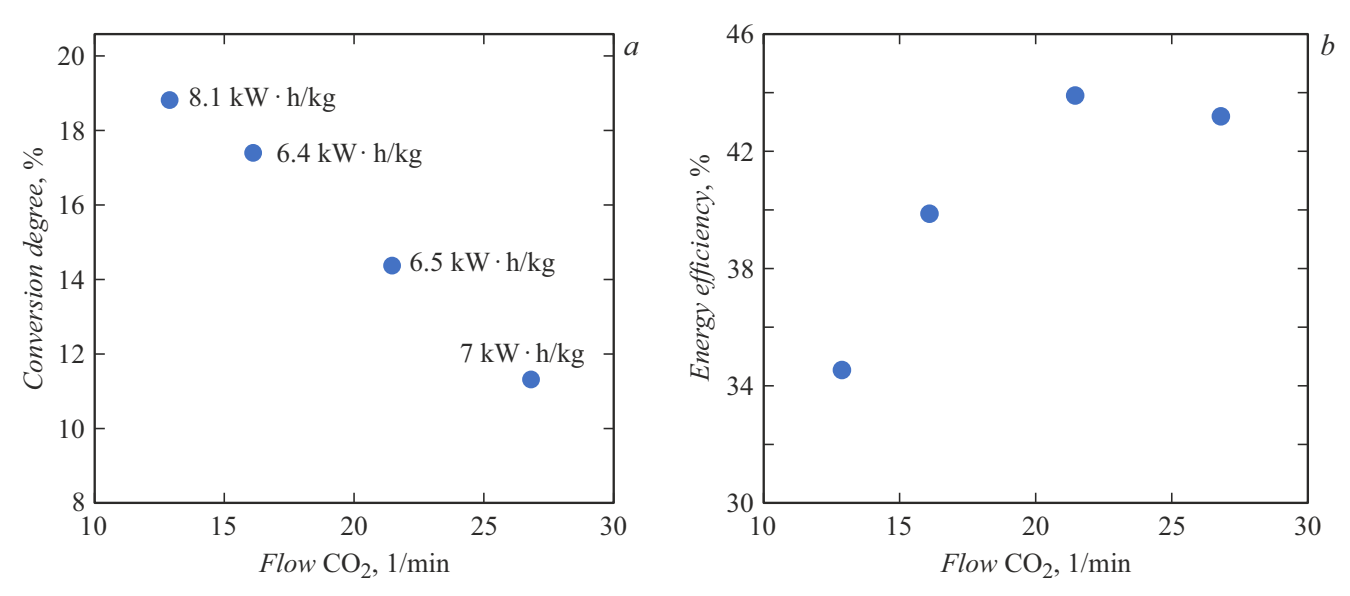


Рис. 3. Зависимость степени конверсии CO_2 (a) и энергоэффективности (b) от потока CO_2 при максимальном (15 l/min) потоке закалочного газа (CO_2+CO+O_2) и мощности 1350 W. На фрагменте a приведены значения затрат энергии на 1 kg CO.

конверсии CO_2 в 14.3% максимальный выход монооксида углерода составляет $\sim 0.2\,\mathrm{kg/h}$ (или в годовом выражении 1.8 тонны).

Таким образом, закалка продуктов реакции разложения углекислого газа встречным потоком газа позволяет вплотную приблизиться к реализации крупномасштабного процесса, при котором, например, магнетрон мощностью 30 kW способен обеспечить производительность не менее 40 тонн монооксида углерода в год. Несмотря на полученные нами весьма привлекательные значения энергетических затрат, суммарная стоимость 1 kg монооксида углерода может сильно превышать рыночную стоимость СО, полученного традиционным способом. Поэтому для дальнейшего повышения степени конверсии и энергоэффективности нам предстоит решение ряда ключевых задач, таких как оптимизация электродинамического тракта с целью снижения коэффициента отражения от плазмы; оптимизация узла закалки с целью достижения максимальной скорости охлаждения; связывание или удаление кислорода из состава продуктов реакций с целью предотвращения обратных реакций. Дополнительный оптимизм в проведении подобных исследований придает общемировая тенденция на декарбонизацию всех отраслей экономики, а также взятые Россией обязательства по достижению углеродной нейтральности к 2060 г.

Конфликт интересов

Авторы заявляют, что у них нет конфликта интересов.

Список литературы

- Y. Vadikkeettil, Y. Subramaniam, R. Murugan,
 P.V. Ananthapadmanabhan, J. Mostaghimi, L. Pershin,
 C. Batiot-Dupeyrat, Y. Kobayashi, Renew. Sustain. Energy
 Rev., 161, 112343 (2022). DOI: 10.1016/J.RSER.2022.112343
- [2] E. Kustova, M. Mekhonoshina, Phys. Fluids, 32, 096101 (2020). DOI: 10.1063/5.0021654
- [3] Ю.А. Лебедев, В.А. Шахатов, ЖПХ, **95** (1), 5 (2022). DOI: 10.31857/S0044461822010017 [Yu.A. Lebedev, V.A. Shakhatov, Russ. J. Appl. Chem., **95** (1), 1 (2022). DOI: 10.1134/S1070427222010013].
- [4] M.Y. Ong, S. Nomanbhay, F. Kusumo, P.L. Show, J. Clean. Prod. 336, 130447 (2022).
 DOI: 10.1016/j.jclepro.2022.130447
- [5] G.J. Van Rooij, H.N. Akse, W.A. Bongers, M.C.M. Van De Sanden, Plasma Phys. Control. Fusion, 60, 014019 (2017). DOI: 10.1088/1361-6587/AA8F7D
- [6] R. Vertongen, A. Bogaerts, J. CO₂ Utilization, **72**, 102510 (2023). DOI: 10.1016/J.JCOU.2023.102510
- [7] S. Van Alphen, A. Hecimovic, C.K. Kiefer, U. Fantz,
 R. Snyders, A. Bogaerts, Chem. Eng. J., 462, 142217 (2023).
 DOI: 10.1016/J.CEJ.2023.142217
- [8] N.V. Chekmarev, D.A. Mansfeld, A.V. Vodopyanov, S.V. Sintsov, E.I. Preobrazhensky, M.A. Remez, J. CO₂ Utilization, 82, 102759 (2024). DOI: 10.1016/j.jcou.2024.102759
- [9] E. Carbone, F. D'Isa, A. Hecimovic, U. Fantz, Plasma Sources Sci. Technol., 29, 055003 (2020).DOI: 10.1088/1361-6595/ab74b4
- [10] B. Wanten, R. Vertongen, R. De Meyer, A. Bogaerts, J. Energy Chem., 86, 180 (2023). DOI: 10.1016/j.jechem.2023.07.005
- [11] R.J. Detz, B. van der Zwaan, J. Energy Chem., 71, 507 (2022).DOI: 10.1016/J.JECHEM.2022.04.014